

**МИНОБРНАУКИ РОССИИ**  
**САНКТ-ПЕТЕРБУРГСКИЙ ГОСУДАРСТВЕННЫЙ**  
**ЭЛЕКТРОТЕХНИЧЕСКИЙ УНИВЕРСИТЕТ**  
**«ЛЭТИ» ИМ. В.И. УЛЬЯНОВА (ЛЕНИНА)**  
**Базовая кафедра «Вычислительные технологии»**

**ОТЧЕТ**  
**по лабораторной работе №3**  
**по дисциплине «Проектирование реконфигурируемых систем**  
**на кристалле»**  
**Тема: Сравнение характеристик проектов на основе Nios II в кристалле**  
**Cyclone V при их аппаратной и программно-аппаратной реализации**  
**Вариант 4**

Студенты гр. 6309

\_\_\_\_\_

Васин А. М.

\_\_\_\_\_

Жвакин К. Э.

\_\_\_\_\_

Ладыженский Р. С.

Преподаватель

\_\_\_\_\_

Шарагина Н.С.

Санкт-Петербург

2021

### **Цель работы.**

Цель работы состоит в анализе особенностей проектирования и отладки и сравнении эффективности проектирования систем на базе soft-процессора Nios II и проектирования беспроцессорных аппаратных модулей при их реализации в условиях одной СнК.

### **Основные теоретические положения.**

Один из способов оценки корректности проектов основан на моделировании, предполагающем отладку проекта на модели путем анализа реакций разрабатываемых схем на стимулирующие воздействия. Несмотря на высокую вероятность обнаружения имеющихся дефектов моделирование не всегда позволяет оценить работу схемы. Более эффективны методы, основанные на экспериментах с реальным оборудованием. Получившие в последнее время широкое распространение прототипные платы разработчика, содержащие ПЛИС, позволяют организовать подобные эксперименты.

Одно из основных достоинств СнК – гибкость решения различных задач. На одном и том же кристалле ПЛИС можно реализовать различные способы решения поставленной задачи, оценить результат и выбрать более подходящий в данном случае способ.

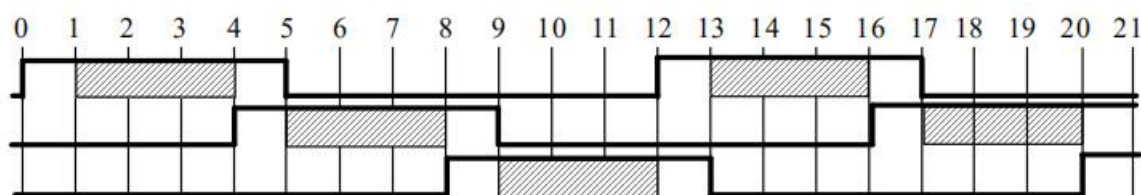


Рис. 1 - Диаграмма сигналов трехфазного управления

В работе предлагается реализовать два независимых решения задачи формирования сигналов трехфазного управления, аппаратно выполненные на одном кристалле ПЛИС фирмы «Altera».

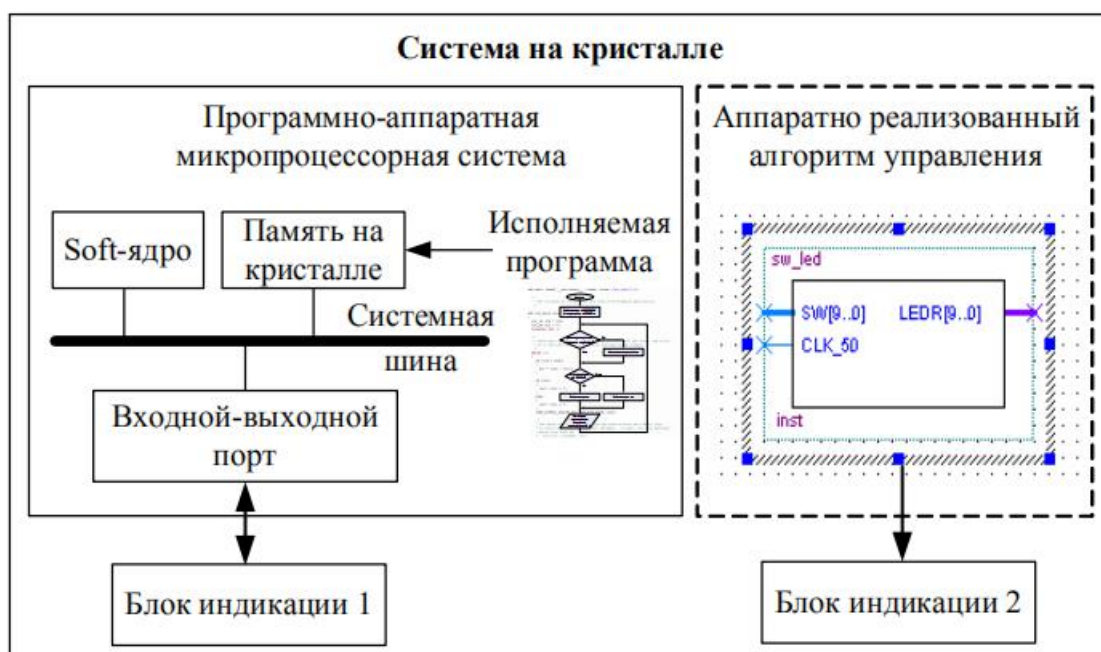


Рис. 2 - Устройство трехфазного управления

Первая система предполагает чисто аппаратную реализацию алгоритма, а вторая должна быть выполнена как программно-аппаратная микропроцессорная система на основе процессорного ядра Nios II. Пример временной диаграммы трехфазного управления с перекрытием на один такт приведен на рис. 1, а структурная схема устройства – на рис. 2.

### **Задание на работу.**

Разработать СНК с двумя независимыми решениями задачи трехфазного управления: аппаратным и программно-аппаратным. Выполнить имплементацию проекта СНК в ПЛИС отладочной платы DE0 фирмы «Terasic». Визуальный контроль работоспособности проекта осуществить путем подключения светодиодных индикаторов.

### **Выполнение работы.**

#### ***Этап 1. Создание проекта в САПР Quartus II***

1. Выполним конфигурирование процессорной части СНК, а также сгенерируем файлы описания soft-процессора NIOS II со встроенной в кристалл

памятью программ и данных и блоком индикации. Выполним компиляцию проекта, назначим контакты, выполним загрузку процессорного ядра в ПЛИС.

Use	Connections	Name	Description	Export	Clock	Base	End	IRQ	Of
<input checked="" type="checkbox"/>		<input checked="" type="checkbox"/> clk_0	Clock Source	clk	clk_0				
		clk_in	Clock Input	reset					
		clk_in_reset	Reset Input	Double-click to export					
		clk	Clock Output	Double-click to export					
		clk_reset	Reset Output	Double-click to export					
<input checked="" type="checkbox"/>		<input checked="" type="checkbox"/> nios2_qsys_0	Nios II Processor	clk	clk_0				
		clk	Clock Input	Double-click to export					
		reset_n	Reset Input	Double-click to export					
		data_master	Avalon Memory Mapped Master	Double-click to export					
		instruction_master	Avalon Memory Mapped Master	Double-click to export					
<input checked="" type="checkbox"/>		<input checked="" type="checkbox"/> jtag_uart_0	JTAG UART	clk	clk_0				
		reset	Reset Input	Double-click to export					
		avalon_jtag_slave	Avalon Memory Mapped Slave	Double-click to export					
<input checked="" type="checkbox"/>		<input checked="" type="checkbox"/> onchip_memory2_0	On-Chip Memory (RAM or ROM)	clk1	clk_0				
		s1	Avalon Memory Mapped Slave	Double-click to export					
		reset1	Reset Input	Double-click to export					
<input checked="" type="checkbox"/>		<input checked="" type="checkbox"/> pio_0	PIO (Parallel I/O)	clk	clk_0				
		clk	Clock Input	Double-click to export					
		reset	Reset Input	Double-click to export					
		s1	Avalon Memory Mapped Slave	Double-click to export					
		external_connection	Conduit	gpio					

Рис. 3 - Результат конфигурирования системы

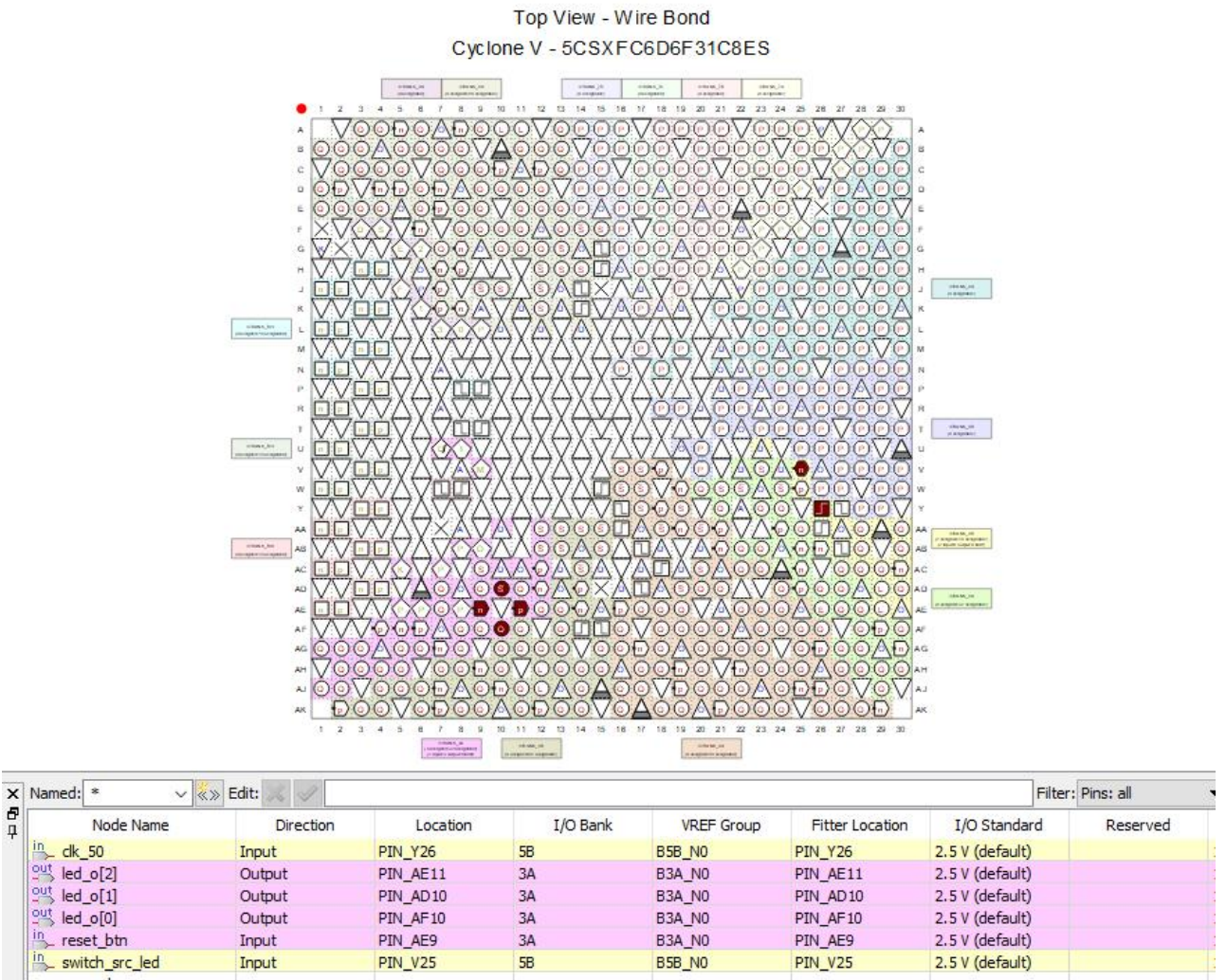


Рис. 4 - Результат назначения контактов

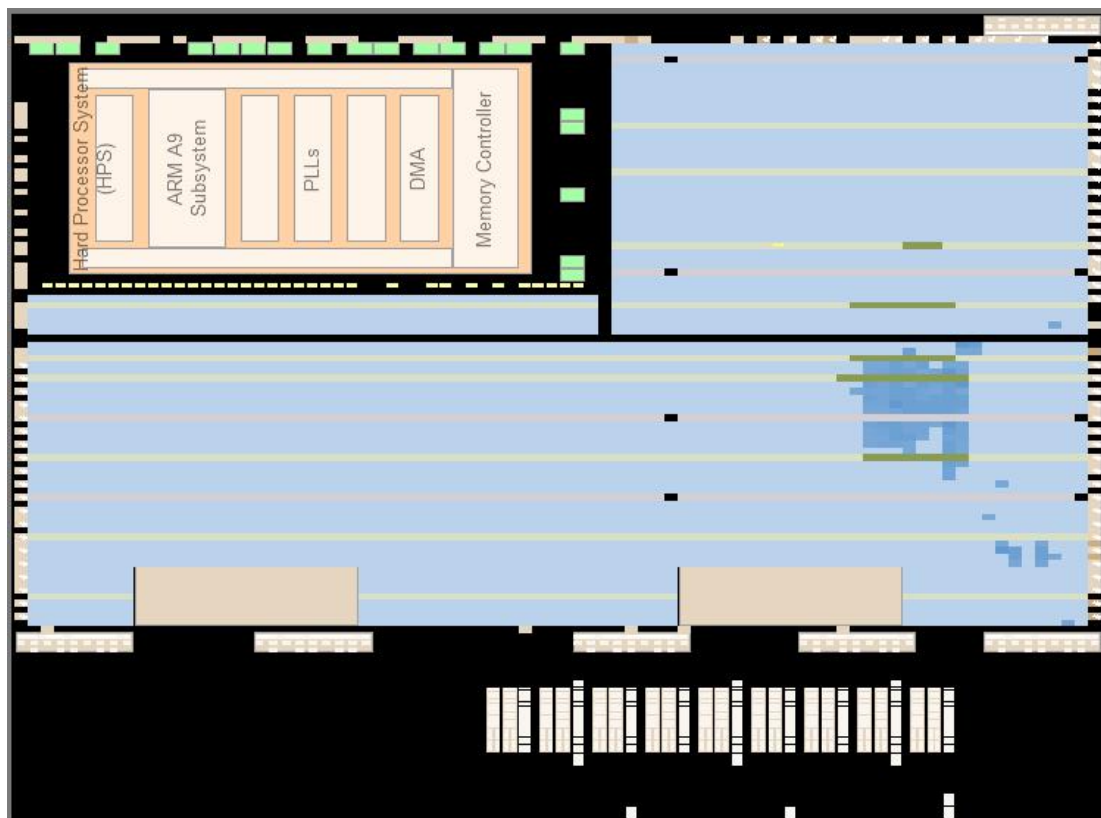


Рис. 5 - Расположение проекта в ПЛИС

2. Загрузим на выполнение программу трехфазного управления для Nios II. Листинг программы, соответствующий временной диаграмме на рис. 1, приведен в листинге 1. Работа программы построена на основе циклического формирования выходных сигналов. `led[0]...led[2]` – выходные значения сигналов управления для каждой фазы, Counter – счётчик тактов для фаз.

Листинг 1. Исходный код программы.

```
#include "sys/alt_stdio.h"
#include "system.h"
#include "altera_avalon_pio_regs.h"
#include <unistd.h>

#define FIRST_UP    24
#define FIRST_DOWN  10
#define SECOND_UP   8
#define SECOND_DOWN 18
#define THIRD_UP    16
#define THIRD_DOWN  2

int main()
{
    alt_putstr("Hello from Nios II!\n");

    int data_led = 0x00;
    alt_u8 led [3] = {0, };
}
```



```

int counter = 0;
/* Event loop never exits. */
while (1)
{
    counter++;
    switch(counter)
    {
        case FIRST_UP:    led[0] = 1; counter = 0; break;
        case FIRST_DOWN:  led[0] = 0; break;
        case SECOND_UP:   led[1] = 1; break;
        case SECOND_DOWN: led[1] = 0; break;
        case THIRD_UP:    led[2] = 1; break;
        case THIRD_DOWN:  led[2] = 0; break;
        default: break;
    }

    data_led = led[2] << 2 | led[1] << 1 | led[0];
    IOWR_ALTERA_AVALON_PIO_DATA(PIO_0_BASE, data_led);

    usleep(50000);
}

return 0;
}

```

3. Оценка временных и аппаратных затрат на реализацию проекта представлена на рисунках ниже.

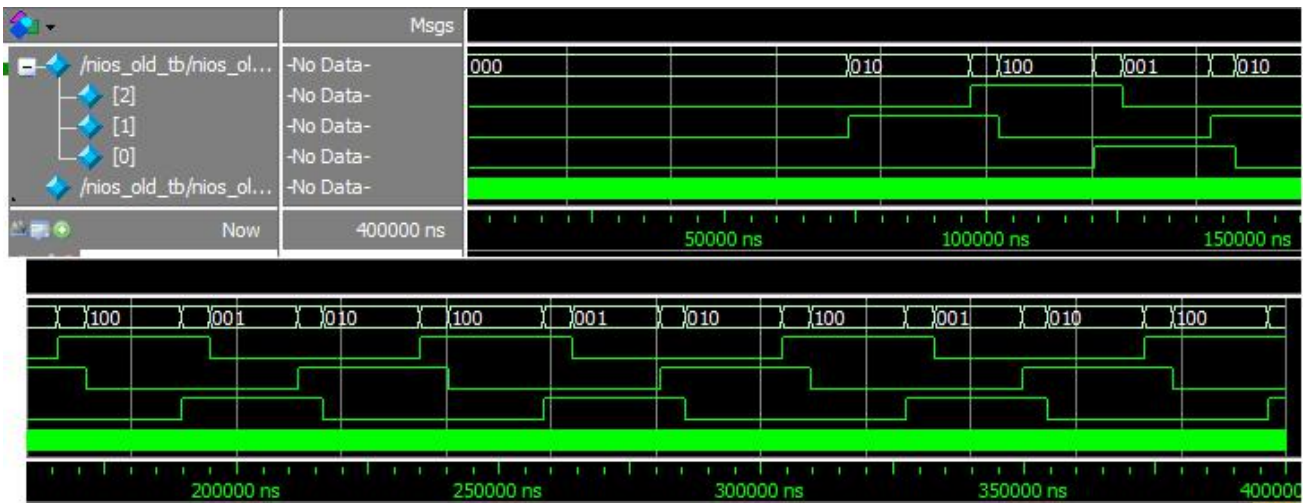


Рис. 6 - Результат моделирование проекта во временной области

Flow Summary	
Flow Status	Successful - Mon Dec 06 13:24:10 2021
Quartus II 64-Bit Version	13.0.1 Build 232 06/12/2013 SP 1 SJ Web Edition
Revision Name	lab_3
Top-level Entity Name	lab_3
Family	Cyclone V
Device	5CSXFC6D6F31C8ES
Timing Models	Preliminary
Logic utilization (in ALMs)	719 / 41,910 ( 2 % )
Total registers	933
Total pins	5 / 499 ( 1 % )
Total virtual pins	0
Total block memory bits	171,264 / 5,662,720 ( 3 % )
Total DSP Blocks	0 / 112 ( 0 % )
Total HSSI RX PCSs	0 / 9 ( 0 % )
Total HSSI PMA RX Deserializers	0 / 9 ( 0 % )
Total HSSI PMA RX ATT Deserializers	0
Total HSSI TX PCSs	0 / 9 ( 0 % )
Total HSSI PMA TX Serializers	0 / 9 ( 0 % )
Total HSSI PMA TX ATT Serializers	0 / 9 ( 0 % )
Total PLLs	0 / 15 ( 0 % )
Total DLLs	0 / 4 ( 0 % )

Рис. 7 - Оценка затрат на реализацию проекта

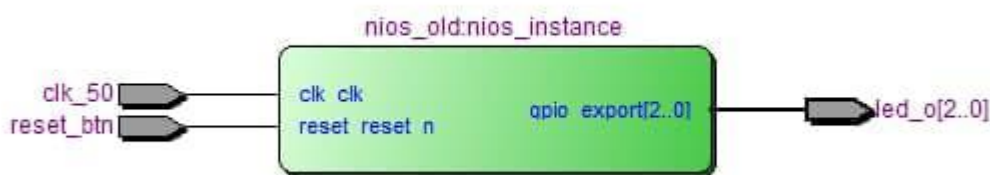


Рис. 8 - RTL - представление проекта

## Этап 2. Аппаратная реализация алгоритма

В листинге 2 приведёно описание разработанного устройства, реализующего заданный алгоритм управления.

В данном проекте индикация светодиодов осуществляется от выбираемого источника. Если переменная `switch_src_led` равна единице, то светодиоды будут отображать результат работы soft-процессора Nios II, в противном случае светодиоды будут отображать результат реализованного на этом этапе аппаратного решения.

```

`define FIRST_UP      5'd24
`define FIRST_DOWN    5'd10
`define SECOND_UP      5'd8
`define SECOND_DOWN    5'd18
`define THIRD_UP       5'd16
`define THIRD_DOWN     5'd2

```

```

module lab_3 (
    input logic clk_50,
    input logic reset_btn,
    input logic switch_src_led,
    output [2:0] led_o
);

    logic [2:0] led_nios;
    logic [2:0] led_fpga;

    assign led_o = switch_src_led ? led_nios : led_fpga;

    nios_old nios_instance (
        .clk_clk (clk_50),          // clk.clk
        .gpio_export (led_nios),    // gpio.export
        .reset_reset_n (reset_btn) // reset.reset_n
    );

    logic [4:0] counter;

    logic clk_10Hz;
    generator #(500_0000) //for 10Hz is 500_0000
    generator_100Hz(
        .nreset_i (reset_btn),
        .i_clk (clk_50),
        .o_clk (clk_10Hz)
    );

    always @(posedge clk_10Hz, negedge reset_btn)
    begin
        if(!reset_btn)
        begin
            led_fpga = 3'b000;
            counter = 4'd0;
        end
        else
        begin
            counter++;
            case (counter)
                `FIRST_UP:begin led_fpga[0] = 1'b1; counter = 5'd0; end
                `FIRST_DOWN: led_fpga[0] = 1'b0;
                `SECOND_UP: led_fpga[1] = 1'b1;
                `SECOND_DOWN: led_fpga[1] = 1'b0;
                `THIRD_DOWN: led_fpga[2] = 1'b0;
                `THIRD_UP: led_fpga[2] = 1'b1;
                default: ;//begin led_fpga[0] = led_fpga[0]; led_fpga[1] = led_fpga[1];
            led_fpga[2] = led_fpga[2]; end
            endcase
        end
    end

endmodule

```



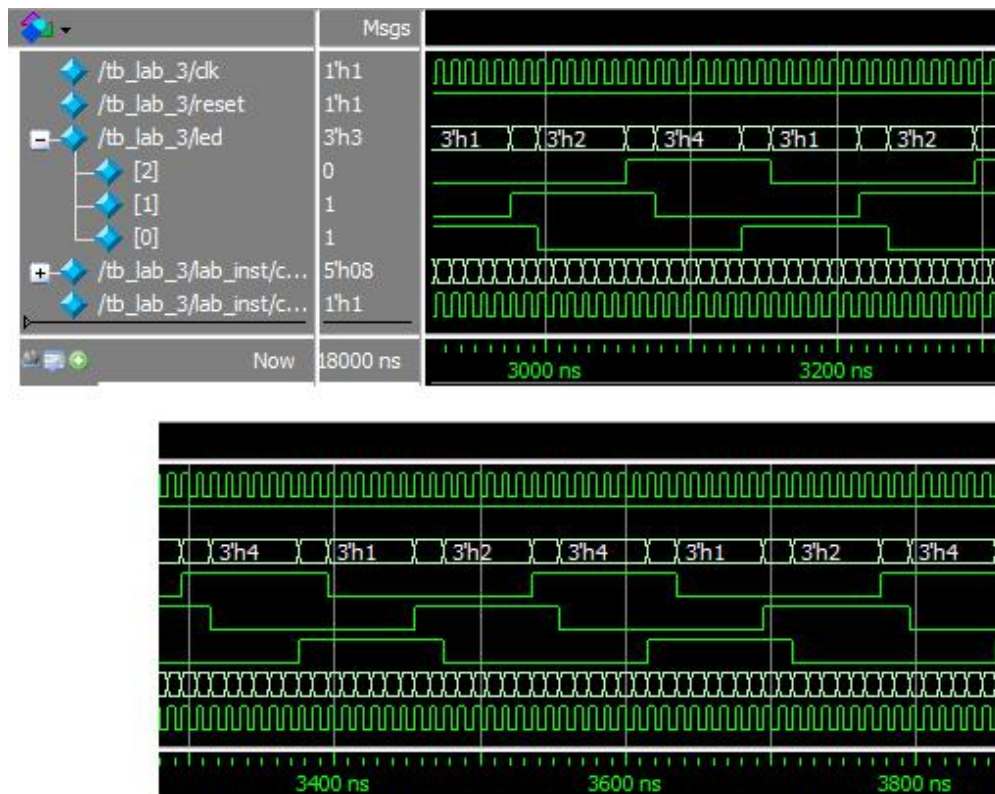


Рис. 9 - Результат моделирования проекта во временной области

Flow Status	Successful - Mon Dec 06 13:45:26 2021
Quartus II 64-Bit Version	13.0.1 Build 232 06/12/2013 SP 1 SJ Web Edition
Revision Name	lab_3
Top-level Entity Name	lab_3
Family	Cyclone V
Device	5CSXFC6D6F31C8ES
Timing Models	Preliminary
Logic utilization (in ALMs)	27 / 41,910 ( < 1 % )
Total registers	46
Total pins	5 / 499 ( 1 % )
Total virtual pins	0
Total block memory bits	0 / 5,662,720 ( 0 % )
Total DSP Blocks	0 / 112 ( 0 % )
Total HSSI RX PCSs	0 / 9 ( 0 % )
Total HSSI PMA RX Deserializers	0 / 9 ( 0 % )
Total HSSI PMA RX ATT Deserializers	0
Total HSSI TX PCSs	0 / 9 ( 0 % )
Total HSSI PMA TX Serializers	0 / 9 ( 0 % )
Total HSSI PMA TX ATT Serializers	0 / 9 ( 0 % )
Total PLLs	0 / 15 ( 0 % )
Total DLLs	0 / 4 ( 0 % )

Рис. 10 - Оценка затрат на компиляцию проекта

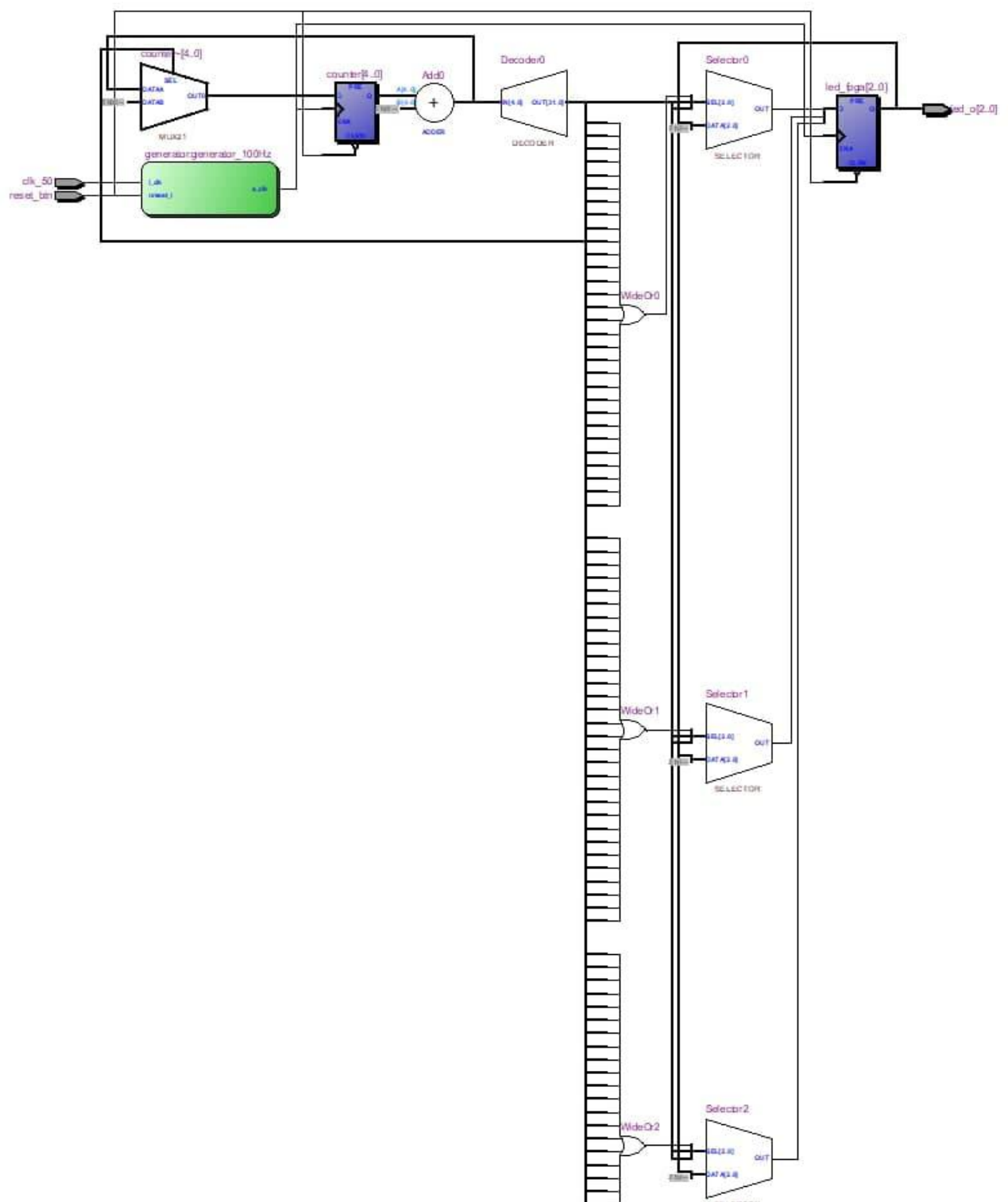


Рис. 11 - RTL-представление проекта

## Выводы.

В ходе выполнения данной лабораторной работы был произведён анализ особенностей проектирования и отладки систем на базе soft-процессора Nios II и беспроцессорного аппаратного модуля при их реализации в условиях одной СМК.

Сравнения проводились с отключенными задержками на аппаратном входном тактовом сигнале 50МГц, минимальные периоды составили 69000 нс и 241 нс соответственно. Таким образом, разница составила 286 раз по скорости работы в пользу аппаратной реализации.

Далее, сравнивая затраты на реализацию проекта, можно отметить, что применение аппаратных модулей позволяет уменьшить использование логики в 26 раз, сократить количество используемых регистров в 20 раз, а также избавиться от использования блочной памяти ПЛИС (в которой хранится исполняемый код программы). Всё это обусловлено отсутствием необходимости синтеза процессорного ядра для выполнения одной и той же задачи.

Подводя итоги, можно отметить эффективность применения аппаратных модулей для выполнения задач, требующих большого быстродействия, в то время как применение soft-процессоров позволяет снизить временные затраты на выполнение проекта.